

# 生化学部門

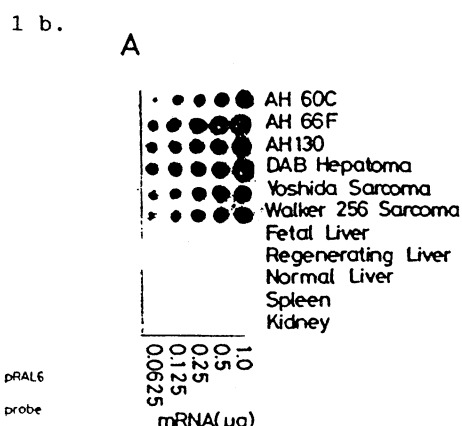
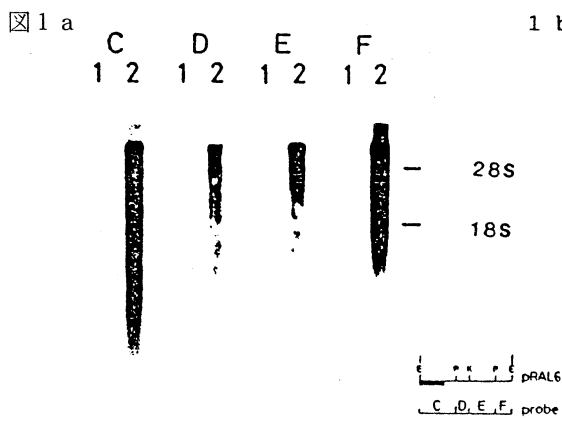
## Department of Biochemistry

当部門では、昭和61年4月より、藤也寸志、中島秀彰、中牟田誠、松口徹也、高楓の5名が新たに院生として研究に参画した。昭和62年3月末には院生、鈴木憲明が課程を終了し、院生、志方出、鴻江俊治が単位取得の上、退学した。当部門の主要研究テーマは発癌機構の解明である。細胞の癌化に伴っておこる遺伝子発現の異常の解析から、逆行性に癌化の本質にせまろうというのが基本戦略である。この様な観点から、ここ数年来、癌組織で強く発現し、正常組織には殆ど発現の見られない遺伝子の分離、同定を行ってきたが、その結果、分離されたクローンのうち、約半数が反復配列由来のクローンからなり、残りが単一遺伝子からなることが我々の研究から明かとなった。(M.Yamamoto et al. Proc.Natl.Acad.Sci. 80, 7524:1983) 昭和61年度は、前年に引き継ぎ、主としてこの両グループに属するクローンの構造及び機能について検索を進めた。

### A. がんで特異的に発現の高い反復配列由来のクローンの解析

#### A a. 新しいファミリーに属するLTR様配列 (鈴木憲明、藤吉利信、前原喜彦、高橋慶吉、山本三毅夫、遠藤英也)

ラット腹水肝癌 AH 60 C 及び、正常肝の一本鎖 cDNA をプローブとしてラットのゲノムライブラリーから、直接、目的に合致するゲノムクローンを2個 (pRAL 6, pRAL 10) 分離した。図1 a に pRAL 6 を4つに分け、各断片 (C,D,E,F) をプローブした Northern プロットを示す。いずれのプローブも AH 60 C RNA (Lane 2) にスメア状に強くハイブリダイズしているのに、正常 RNA (Lane 1) とはハイブリダイズしないことがわかる。また、図1 b の Dot プロットアッセイに示す様に、pRAL 6 は AH 60 C のみならず、他のラット癌にも強い発現がみられる一方、肝以外の正常組織にも発現がみられない。



ついで、塩基配列を決定したところ両クローンとも、図2に示す様な枠で囲んだ約800 bp からなる、レトロウイルスのLTR様構造をもち、その構造は、互いにきわめて相同性の高いものであった。ただし、pRAL 6 (A) は、このRALエレメントと名付けたLTR様構造の下流に、或種のレトロウイルスのgag、pol領域に、約60%の相同性をもつ塩基配列を有し、プロウィルス由来であることが強く示唆されたがpRAL 10 (B) は単一のLTRであった。コピー数は、前者で、ハプロイドゲノムあたり、約300、後者は3000であった。RALエレメントのU3領域の中央から3'側にかけて、既知の塩基配列に相同性がなく、従って、新しいファミリーに属するLTR様構造と結論された。RALエレメント内の、適当なDNA断片をプローブとしたS1分析からRALエレメントのプロモーターは正しく作動していることが示された。

図 2 A

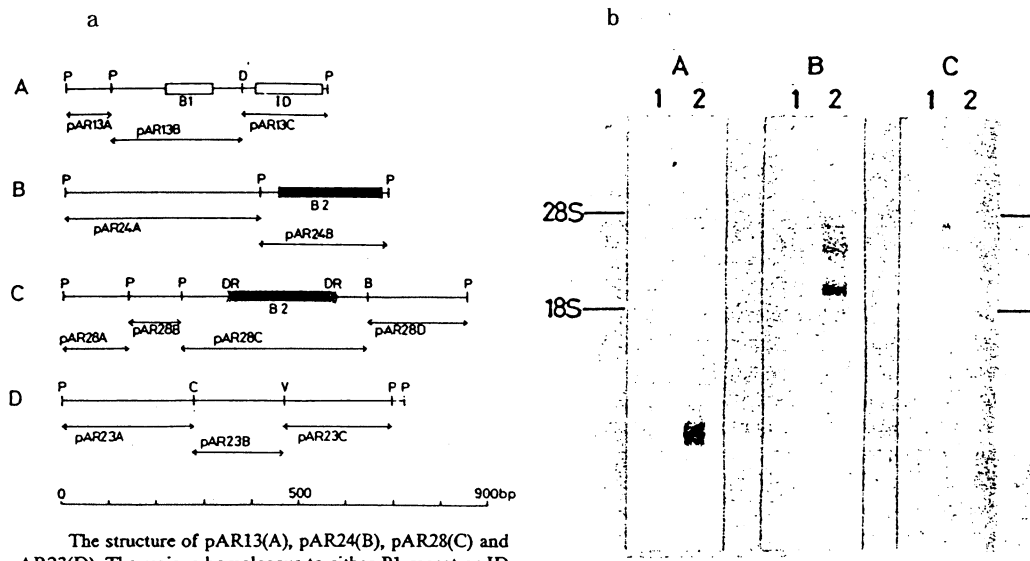
B

W1001	AACCTGTTGGCCCGATCCTCCGGGATGCCTTGTATTACCCATAGGAGGAGTATTATAGGATOCATGCCCTACTCTGATTTGACACAGACAGAACGGTCTATAGACTGTGTTGATT	120
W1002	TAGCCTATGACTAAACTATCTCAGGATTACCTCTGGATCTCTCTGCTGAGACTGACCACTGCCCTGTCCTGGCTGATAATTAAAATTAACCTTCTTCGATTTGGCTTAAAGAATTG	240
W1003	CTACTGCTCTGCTCATGCTGAGATAATTAACTCTCTCAGGCTGAGATGAAACCCAAATTATACCAAAATTAACTTCTGAAACCCAAATTAAACGACTAAACCCGAAACCCAG	360
W1004	CACAACTCTGGGCTAACTCCGGGGCCAGGATAGACCCGGATAAAGATAACAAACCCAGGAACTACAAACCCAGGCTACAGGCTTACAGGCTACCCATAACCCATGAGAACATCCCC	480
W1005	ACCCTTACTCTGGCATATTTACACAGATCTCTCCGGCTACCTYGAACCCCCTATCTCTCTGCTCTCCACCCAGATCTCTCTGCTCTCCACACAGGCTTACCCGATACCCGAACTG	600
W1006	ACCACAGTTCTTCAAATCACAGATCTCTCATCAATTCTGACAACCCCTTAAATAATTAAGAACCTGAAAGCTCTACCDCTCTCTGCTCTTACCTGACTCTTCTGCGACCTACGGGGTCCA	720
W1007	TAATACCTTCTCTCATCCCTATCTCTGCTGAGCCATAAAACATCTCTCTGCTCTGCTCTCCCTCCCTTACACATCCCGATCCCTGCTCTACACAGGCTCTGCTCTTAAACTCTG	840
W1008	TTCTCCACCCCTTCTGGCTGAGACAGGCTCTGCTCTGCTCTGAGAAACCTGCTGAGACGGCCGGAGATCTCTCTGCTCTGAGAACTCTGCTCTTAAACCTGCTCTGCTCTTAAACTCTG	960
W1009	GCTCTCTCTCTGCT	1080
W1010	AGGCTTACAGGGCCACAAATCTCTTCAAGCTGATAAAATCTACTCTGAGATGTC	

A H60Cと正常肝からの遊離核を用いたrun onアッセイからR A Lエレメントの癌特異的発現は、転写段階に於ける調節異常によることが明らかにされた。しかし、A H60Cと正常肝のDNAについてSouthernプロットで両者のプロファイルをみると、両者殆ど同じで、少なくとも、大きな再編成や増幅の存在は認められなかった。

### A b. 反復配列由来のクローニングの系統的検索（鴻江俊治、前原喜彦、遠藤英也）

図3



The structure of pAR13(A), pAR24(B), pAR28(C) and pAR23(D). The regions homologous to either B1 repeat or B2 sequence are denoted by open boxes, and B2 repeats are denoted by solid boxes. The restriction fragments used for the construction of subclones are indicated. P, *Pst*I; D, *Dde*I; B, *Bgl*II; C, *Acc*I; V, *Aat*II; DR, direct repeat.

Transcripts homologous to pAR13A(A), pAR24A(B) and pAR28A(C) in poly(A)<sup>+</sup> RNA of rat normal liver (lane 1) and AH60C (lane 2). |

ラット腹水肝癌 AH60C から作製した cDNA クローン 2500 個を AH60C のゲノムの DNA をプローブにしてスクリーニングしたところ、1.2 % にあたる 30 個が反復配列を含むことがわかった。また、そのうちの 12 個が AH60C を含んだ種々のラット癌で強く発現され、肝を含む正常組織では殆ど発現がみられなかった。この 12 個のクローンは、更に細胞質の polyA RNA ともハイブリダイズするクラス I と、しないクラス II に分けられた。図3 a の A, B はクラス I に属するクローン p A H13 と p A R24 を、C はクラス II に属する p A R28 のおおまかな構造を示したものであるが、クローン p A H13 には既知の反復配列、B1 リピートや ID 配列が存在し、クローン p A R24 と p A R28 には、B2 リピートが存在していた。これら反復配列の近傍の DNA 断片、p A R13A, p A R24A, p A R28A, 28B, 28D をそれぞれプローブにして Southern プロットを行なうと、何れも 1 本のバンドを示し、単一遺伝子の存在が明らかである。興味深いのは、このうち p A R13A, p A R24A で図3 b の Northern プロットプロフ

イルから明らかな様にその発現は A H60C (Lane 2) で強く、正常肝 (Lane 1) では発現がみられていない。反復配列が近傍の単一遺伝子の転写率を調節している可能性が示唆される知見として注目に値する。

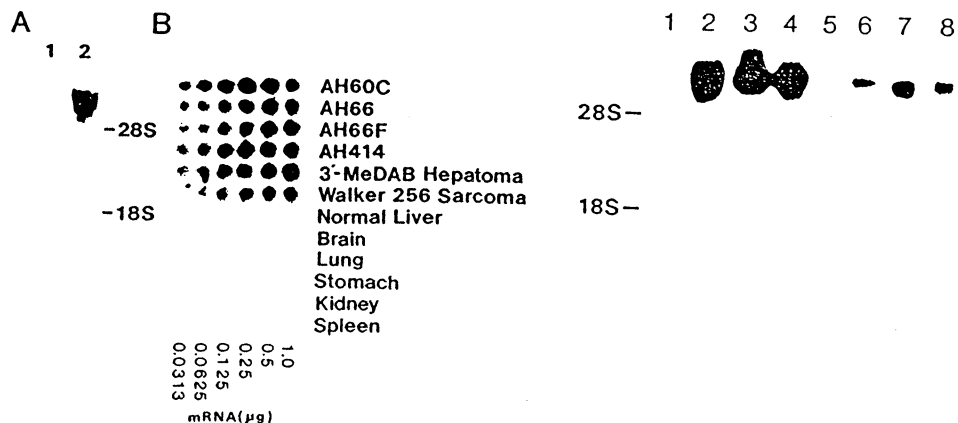
#### A c. 反復配列由来のクローン p A H53の解析 (山本三毅夫、高橋慶吉、遠藤英也)

p A H53は当研究部門で分離された最初の、発現がきわめて癌に特異的な、反復配列由来のクローンである。p A H53のインサート R T - 1 をプローブにして A H60C の c D N A ライブラーイをスクリーニングして、多数の、R T - 1 を含む c D N A クローンを分離、そのうち、12種のクローンについて制限酵素地図を作製、それぞれがどの様な構成ユニットから成るかを明らかにした。現在、この12種の塩基配列を決定中である。一方、R T - 1 をプローブとして、ラットのゲノムライブラーイからゲノムクローンを多数分離し、その構造解析を行なっている。

#### B. 癌で特異的に発現の高い単一遺伝子の分離、同定

##### B a. c D N A クローン p A H1005の解析 (志方出、野替一郎、池尻公二、藤吉利信、遠藤英也)

図 4 a b



Northern blot analysis of various normal liver and tumor poly(A)<sup>+</sup>RNAs. Poly(A)<sup>+</sup>RNAs (5 μg) from mouse normal liver (lane 1), MH134 (lane 2), S180 sarcoma (lane 3), Lewis lung carcinoma (lane 4), liver tissue adjacent to human hepatoma surgically extirpated (lane 5), its hepatoma portion (lane 6), MX-1 (mammary cancer; lane 7) and MK (gastric cancer; lane 8) were Northern-blotted and hybridized with <sup>32</sup>P-labeled pAH1005 probe.

ラット腹水肝癌 A H60C より調製した c D N A ライブラーイをスクリーニングして A H60C

で強く発現され、正常肝には殆ど発現を見ないクローンとして、6.8 k b mRNA由来のcDNAクローン p A H1005を分離した(図4 a A)。この遺伝子は、AH60Cのみならず、種々のラット癌、(図4 a B)及びマウスの癌、更に、ヒトの癌にも発現されていたが、(図4 b)ラット及びマウスでの正常組織、手術で摘出されたヒト肝癌周辺の肝組織にも発現されておらず、その特異性が種をこえて保存されていた。(図4 b)しかしこの遺伝子の発現は、再生肝や、胎児肝にもわずかながらみられ、ラット肝の初代培養細胞に、EGF及びインスリンを添加してもその発現が誘発されたので細胞の増殖にカップルした発現と結論された。なお、同じ動物種の肝及びヘパトーマのDNAについて行なったSouthernプロット解析では、両DNA間に、大きな増幅や再編成は見られなかった。またAH60Cとラット肝の遊離核を用いたrun onアッセイの実験から、この遺伝子の細胞増殖に特異的な発現は転写段階で制御されていることが明らかとなった。

#### B b. cDNAクローン p A H64の解析 (上野孝毅、山本三毅夫、遠藤英也)

このクローンは、そのプラスミドをプローブとして Northern プロットを行なうと AH60C RNAに対して4.3, 3.6, 1.8, 1.2 k bの4本のバンドを形成する。このmRNAの発現は、成熟ラットの肝には見られないが、脳にはみられ、更に胎児肝や新生児の、肝を含め種々の臓器にも発現させていた。また、癌に於ける発現も一様ではなく同じAHシリーズの中でもパターンは異なっていた。一方、プライマー伸長法を用いて、ほぼ全長鎖に近いcDNAが分離され、その構造解析からこのクローンはラットインスリン増殖因子II(rIGFII)の遺伝子由来のものと同定された。ただこれらcDNAには coding 領域が共通で5' noncoding 領域の異なるものが得られており、これらが、mRNAの多様性に対応するものと考えられ、目下、遺伝子クローンをとって解析中である。

#### C. 細胞の不死性獲得に関連した遺伝子発現 (後藤公宣、藤吉利信、遠藤英也)

細胞の不死性獲得は、癌化の前段階として重要なステップであり、それに伴って誘導される遺伝子発現は、癌化の分子機構の解明の手掛かりを与えるものと考えられる。この様な観点からその分離同定を試みた。まず、樹立細胞、Balb/c 3T3からcDNAライブラリーを調製し、Balb/cマウスの胎児線維芽細胞(MEF)mRNA由来の一本鎖cDNAをプローブにして、subtraction hybridizationを行ない、MEFと比較してBalb/c 3T3により豊富に発現するcDNAクローンを分離し、その構造分析を行ったところ、得られたクローンのうち1つがカルシウム結合蛋白S100の遺伝子に近似しており、目下、その詳細を検討中である。

#### D. ラット肝 $\alpha$ 2uグロブリンmRNA 3'非翻訳領域に見られる alternative splicing (市吉裕二、山本三毅夫、遠藤英也)

$\alpha$ 2uグロブリンは、雄ラットの肝臓で合成される蛋白であるがそのcDNAクローンを多数

解析した結果、この蛋白の mRNA には長さの異なる2種類のグループ（L と S）が存在することを見出した。これら cDNA の構造分析の結果、L タイプは S タイプに比較して、6番目のエキソン－インtron 結合部に、25個の塩基が挿入されており、その部分の配列は、ゲノム DNA の第6インtron の 5' 側部分の配列と一致した。目下、S 1 スクレアーゼ解析により L タイプ S タイプの mRNA の相対量比を成熟雄ラット肝、エストロゲン投与肝について検討中である。

### 業績目録

#### 原稿論文

1. Suzuki N.,Fujiyoshi T.,Maehara Y.,Takahashi K.,Yamamoto M.and Endo H. : 1986  
A new family of LTR-like sequences abundantly expressed in rat tumors.  
Nucleic Acid Res, 14:9271-9289
2. Shikata I.,Maehara Y.,Fujiyoshi T.and Endo H. : 1987  
Isolation and characterization of a conserved sequence highly expressed in tumors and growing cells.  
Oncology 44:192-198
3. Kohnoe S.,Maehara Y.and Endo H.: 1987  
A systematic survey of repetitive sequences abundantly expressed in rat tumors.  
Biochem Biophys Acta 909:107-114

#### 学会報告

1. Endo,H.Fujiyoshi,T.Maehara,Y.Shikata,I.Nogae,I.  
A conserved sequence abundantly expressed in tumor cells.  
(The 14 th International Cancer Congress Budapest,August 1986,  
Symposium BII;Molecular Biology of Cancer Cell Nuclei)
2. Endo,H.  
Sequences abundantly expressed in tumors and growing cells.  
(US-Japan Seminar on "Oncogenes in relation to Developmental and Transcriptional Control" Hawaii,February 1987)
3. 鈴木憲明、藤吉利信、前原喜彦、山本三毅夫、遠藤英也：1986  
ラット癌に於ける LTR 様塩基配列の特異的発現（第45回日本癌学会総会）
4. 上野孝毅、鴻江俊治、市吉裕二、藤吉利信、山本三毅夫、遠藤英也：1986  
ラット腹水肝癌より単離した onco-fetal cDNA クローンの解析（II）（第45回日本癌学会総会）
5. 野替一郎、志方出、池尻公二、後藤公宣、藤吉利信、山本三毅夫、遠藤英也：1986  
癌で発現量の多い cDNA クローンの解析（第45回日本癌学会総会）